

полняется вплоть до полей, разрушающих сверхпроводимость. В сверхпроводниках 2-го рода (Nb_3Sn , NbTi и др.) в широком диапазоне H поле, не разрушая сверхпроводимости, проникает в объём в виде вихрей, что эффективно ослабляет диамагнетизм.

Эмиссия электронов. При нагревании М. до высоких темп-р наблюдается «испарение» электронов с поверхности М. (см. *Термоэлектронная эмиссия*). Число электронов, вылетающих из М. в единицу времени, пропорц. $\exp(-W/kT)$, где W — работа выхода электрона из М. Величина W (2–5 эВ) у разл. М. (и даже на разных кристаллич. гранях одного М.) различна; W зависит от состояния поверхности. Приложив к М. сильное электрич. поле ($\sim 10^7$ В/см), можно существенно увеличить эмиссию электронов за счёт того, что электроны покидают М. в результате туннельного прохождения (см. *Автозелектронная эмиссия*). Различия в W обусловливают контактную разность потенциалов между разными М.

Гальваномагнитные и термомагнитные явления. Магн. поле H , искривляя траекторию электронов в плоскости, перпендикулярной H , влияет на все кинетич. коэф. (эл.- и теплопроводностей, термоэлектрические и др.) и приводит к ряду новых явлений: к Холла эффекту, магнитосопротивлению и др. Различают классич. и квантовые (осцилляционные) гальваномагнитные явления. При рассмотрении последних надо учитывать квантование движения электронов проводимости в плоскости, перпендикулярной H . Для оценки классич. эффектов надо сравнивать ср. радиус орбиты электрона в магн. поле $r_H = (cp_F/eH)$ с длиной пробега l , а для оценки квантовых — расстояние между уровнями энергии ($\Delta\mathcal{E} = \hbar\omega_c = e\hbar H/mc$) с kT (ω_c — циклотронная частота, m — эф. масса в магн. поле; табл. 4). На зависимость кинетич. коэф. от H влияют особенности электронного энергетич. спектра М., в частности то, какой формой (топологией) обладает поверхность Ферми (см. *Гальваномагнитные явления*, *Термогальваномагнитные явления*). Даже не слишком большое магн. поле при низких темп-рах (~ 1 К) может изменить кинетич. свойства М., напр. в десятки тысяч раз увеличить попечерное (относительно H) сопротивление (Bi) или практически полностью «выключить» попечерную электронную теплопроводность М. (таким путём «выделяются» решёточную — фоновую часть теплопроводности М.).

М. в переменном электромагнитном поле. При прохождении переменного тока частоты ω в М. наблюдается неоднородное распределение тока по образцу: ток сосредоточен вблизи поверхности образца на расстоянии порядка $\delta = c/\sqrt{2\mu_0\omega}$ (см. *Скин-эффект*). Для Cu глубина скин-слоя $\delta \approx 6 \cdot 10^{-4}$ см при $\omega = 6 \cdot 10^8$ с⁻¹ ($\sigma \approx 6 \cdot 10^6$ Ом⁻¹·см⁻¹) (см. *Высокочастотная проводимость*).

При падении эл.-магн. волн на поверхность М. скин-эффект проявляется как в том, что эл.-магн. поле затухает на глубине δ , так и в том, что оно почти полностью отражается от поверхности М.: коэф. отражения $R \approx 1 - \sqrt{\omega/2\sigma} \approx 1$ (для Cu $\sqrt{\omega/2\sigma} \approx 2 \cdot 10^{-5}$).

Приведённые оценки справедливы в случае нормального скин-эффекта, когда $\omega t \ll 1$ и $l \ll \delta$. При $T = 300$ К эти условия выполняются вплоть до оптич. частот ($t \sim 10^{-13} - 10^{-14}$ с, а $\delta \sim 10^{-6}$ см при $\omega \sim 10^{14}$ с⁻¹). При низких темп-рах и для чистых образцов М. условие $\omega t \ll 1$ часто не выполняется (даже если $\omega t \ll 1$). При этом имеет место аномальный скин-эффект, при к-ром δ и R не зависят от l , и тем самым от T .

При низкой темп-ре М., помёщённый в достаточно сильное магн. поле ($r_H \ll l$), обладает мн. свойствами, характерными для плазмы: в нём могут распространяться разнообразные слабозатухающие волны (геликоны, магнитоплазменные волны, доплероны и др.). Коэф. R «ощущает» циклотронный резонанс (при равенстве частоты поля ω целому кратному циклотронной частоты $\omega_c = eH/mc$) (см. *Плазма твёрдых тел*). В нек-рых М.

(напр., в щелочных) удается наблюдать электронный парамагнитный резонанс на электронах проводимости и спиновые волны.

Оптические свойства. Для эл.-магн. волн оптич. диапазона М., как правило, непрозрачны. Характерный блеск — следствие практически полного отражения света поверхностью М., обусловленного тем, что диэлектрическая проницаемость электронного газа в при оптич. частотах отрицательна. Диэлектрич. проницаемость М. $\epsilon = \epsilon_i - \omega_L^2/\omega^2$, где ϵ_i — диэлектрич. проницаемость ионного остова, ω_L — плазменная (ленгмюровская) частота электронов. Плазменные частоты могут быть экспериментально определены по характеристич. потерьм энергии быстрых электронов (с энергией $\gg \hbar\omega_L$) при прохождении через металлич. плёнку. Они теряют энергию на возбуждение плазмонов — квантов колебаний электронной жидкости с частотой ω_L (табл. 8).

Табл. 8. — Энергия плазмона $\hbar\omega_L$ для некоторых металлов

Металл	Li	Na	K	Mg	Al
$\hbar\omega_L$, эВ . . .	7,12	5,71—5,85	3,72—3,87	10,6	15,3

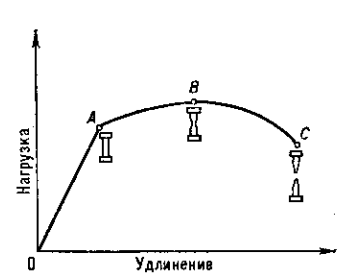
Наличием электронов проводимости обусловлено также экранирование в М. зарядов (напр., заряженных примесей) на характерном расстоянии $r_s = v_F/\omega_L$ (Дебая — Хюкеля радиус), имеющем атомный масштаб. При взаимодействии света с электронами М. важную роль играет т. н. внутр. фотоэффект, т. е. вынужденные (за счёт поглощения фотонов) переходы электронов из зоны в зону. Как правило, именно внутр. фотоэффект определяет коэф. поглощения излучения видимого и УФ-диапазонов и изменение проводимости М. под воздействием света (см. *Фотопроводимость*). Чем выше ω , тем меньшую роль во взаимодействии света с М. играют электроны проводимости: для УФ- и рентг. диапазонов М. мало отличается от диэлектрика. Отражение плоскополяризов. света от поверхности М. сопровождается поворотом плоскости поляризации и появлением эллиптич. поляризации. Это явление используется для техн. целей и для определения оптич. констант М. (см. *Металлооптика, Отражение света, Поляризация света*).

Лит.: Кракенелл А., Квей Чонг Уонг, Поверхность Ферми, пер. с англ., М., 1978; Абрикосов А. А., Основы теории металлов, М., 1987.

М. И. Каганов, В. С. Эдельман.

Механические свойства. Многие М. и сплавы обладают одновременно высокой механич. прочностью и высокой пластичностью, что обуславливает их широкое применение в качестве конструкц. материалов. Изменение линейных размеров М. в результате пластич. деформации при $T = 300$ К достигает десятков, а иногда сотен % (сверхпластичность).

Механич. свойства исследуют, измеряя зависимость механич. напряжение — деформация (рис. 8). Изменение формы образца в процессе деформации показано для трёх характерных участков диаграммы. Участок OA соответствует прямой пропорциональности между нагрузкой и удлинением и обратимости деформации (упругая область; см. *Гука закон*). На нелинейном участке AB нагрузка продолжает увеличиваться с меньшей скоростью, деформация необратима, но распределена равномерно по длине образца.



На участке BC нагрузка уменьшается вследствие локального уменьшения поперечного сечения образца в его центр. части. Образование «шейки» ха-

Рис. 8. Деформация при растяжении металлического цилиндра.